

RELATÓRIO MENSAL DE ATIVIDADES

MONITORAMENTO DA ICTIOFAUNA E DO ICTIOPLÂNCTON NO TRECHO DE VAZÃO REDUZIDA

MÊS DE REFERÊNCIA: ABRIL/2015

MÊS DE AMOSTRAGEM: FEVEREIRO/2015

PATOS DE MINAS, MAIO/2015.

ÍNDICE

| | |
|---|----|
| APRESENTAÇÃO | 3 |
| 1. MONITORAMENTO DO ICTIOPLÂNCTON | 4 |
| 1.1. Reservatório de Itaparica | 4 |
| 1.1.1. Frequência Bimestral (associada à ictiofauna) | 4 |
| 1.2. Reservatório de Xingó e Baixo São Francisco..... | 6 |
| 1.2.1. Frequência Mensal (Nictemeral) | 6 |
| 1.2.2. Frequência Bimestral (associada à ictiofauna) | 12 |
| 1.2.3. Frequência Trimestral (associada à Limnologia) | 13 |
| 2. MONITORAMENTO DA ICTIOFAUNA | 18 |
| 2.1. Reservatório de Xingó e Baixo São Francisco..... | 18 |

APRESENTAÇÃO

O presente documento tem como objetivo apresentar as atividades realizadas no mês de **fevereiro/2015**, relacionadas ao monitoramento da ictiofauna e do ictioplâncton, em todo o trecho a jusante da UHE Sobradinho, incluindo os trechos lóticos do Submédio e Baixo São Francisco, como também os reservatórios de Itaparica, do Complexo Paulo Afonso e Xingó, submetidos à vazão defluente mínima de 1.100 m³/s a partir de Abril de 2013 por meio da Autorização Especial nº. 01/2013, complementada pela Autorização Especial nº. 04/2014 para realização de testes de redução de vazão para 1.000 m³/s em carga leve.

Posteriormente, a Autorização Especial nº. 01/2013 passou por 1^a e 2^a Retificação, vigorando a operação em vazão reduzida para 1.000 m³/s em carga leve e 1.100 m³/s nos demais períodos, que apresenta, dentre outras, a condição específica 2.2, item *Monitoramento da Ictiofauna e dos Estoques Pesqueiros*, para qual este relatório se destina.

Atualmente, está em vigência a Autorização Especial nº. 05/2015, que autoriza a realização de testes de redução de vazão para 1.000, 950 e 900 m³/s em tempo integral, em patamares consecutivos.

As informações aqui apresentadas são oriundas dos programas ambientais abaixo listados, que serão amplamente discutidas e detalhadas nos relatórios dos respectivos programas:

- Programa de Monitoramento dos Ecossistemas Aquáticos do Reservatório de Sobradinho;
- Programa de Monitoramento dos Ecossistemas Aquáticos do Reservatório de Itaparica;
- Programa de Monitoramento dos Ecossistemas Aquáticos dos Reservatórios do Complexo Paulo Afonso; e
- Programa de Monitoramento dos Ecossistemas Aquáticos do Reservatório de Xingó e Baixo São Francisco.

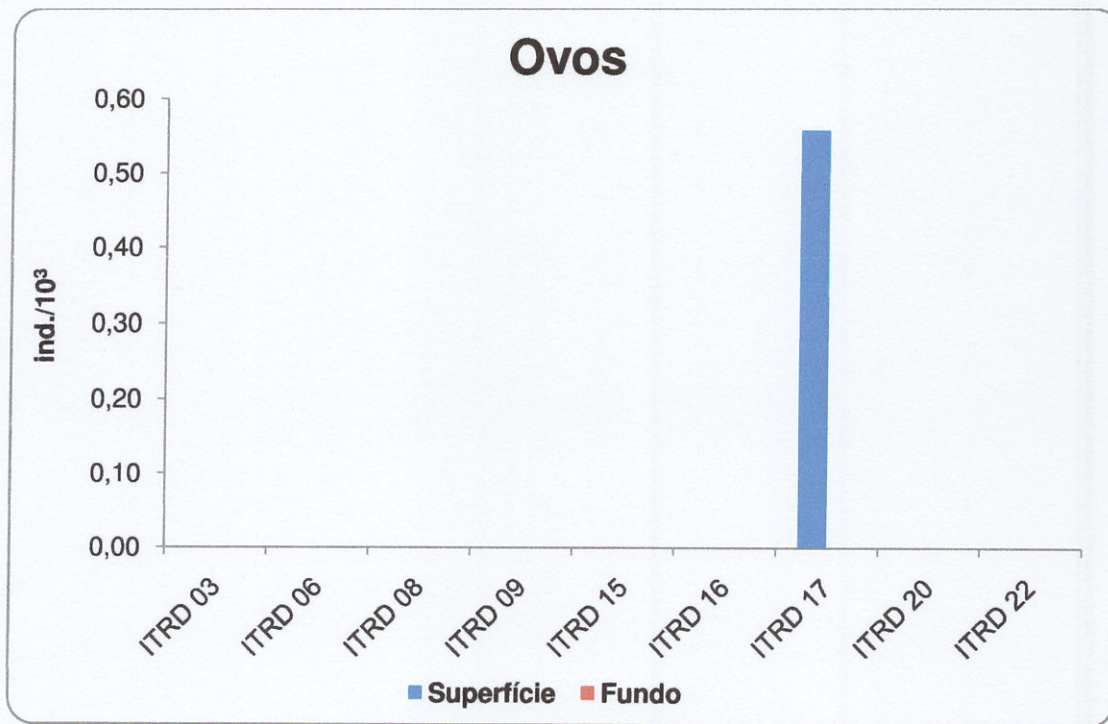
1. MONITORAMENTO DO ICTIOPLÂNCTON

As amostragens para o monitoramento do ictioplâncton acontecem com frequências mensal (nictemeral), bimestral (associada à ictiofauna) e trimestral (associada à limnologia), no âmbito dos programas de monitoramento de ecossistemas aquáticos. No mês de fevereiro/2015, foram realizadas amostragens apenas no Reservatório de Itaparica.

1.1. Reservatório de Itaparica

1.1.1. Frequência Bimestral (associada à ictiofauna)

A partir das amostragens realizadas no reservatório de Itaparica foram capturados apenas 8 ovos e 2 larvas; nenhum indivíduo jovem foi observado. Os ovos foram registrados somente na superfície no ponto ITRD 17, enquanto que as larvas foram capturadas tanto na superfície como no fundo, com pico também no ponto ITRD 17 – na superfície (Figura 1).



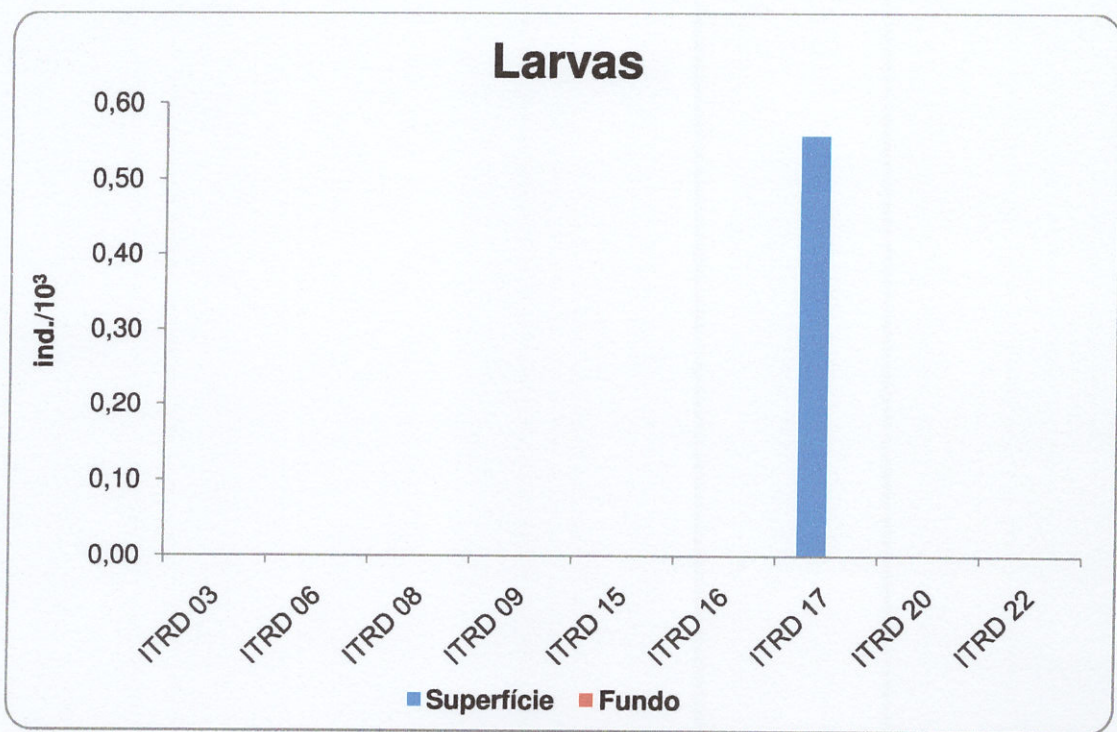
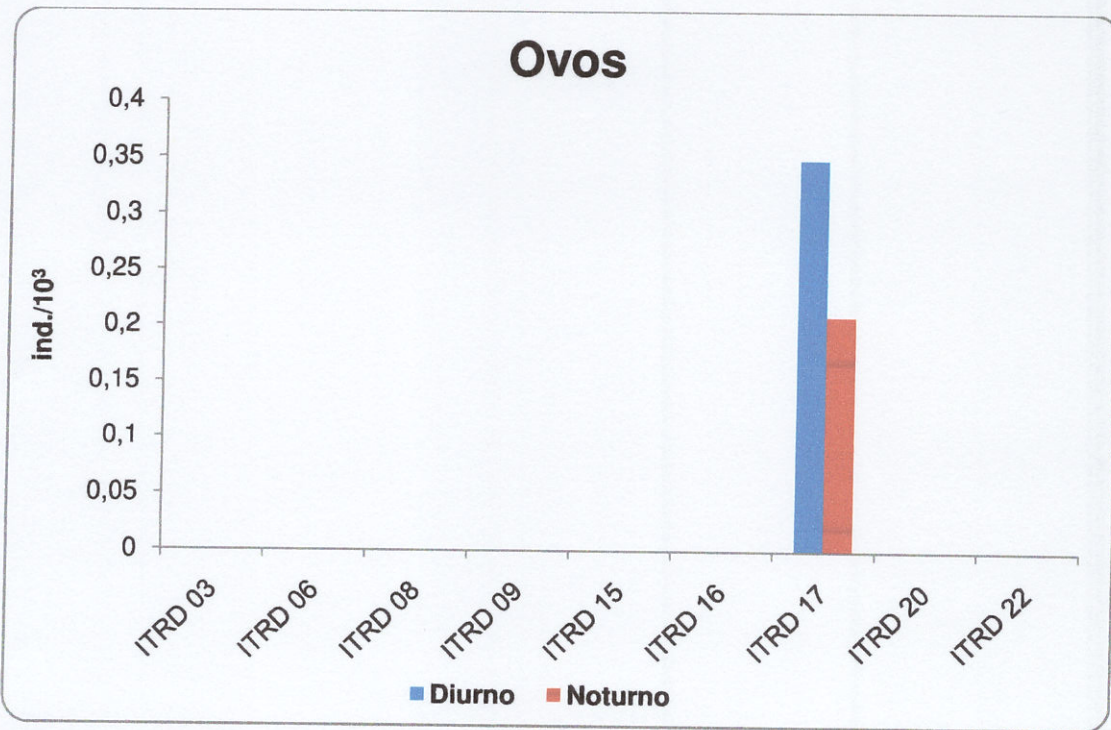


Figura 1: Densidade do ictioplâncton, por estrato amostrado, capturado no reservatório de Itaparica.

Os ovos foram capturados principalmente no período diurno, enquanto que as larvas somente neste (Figura 2).



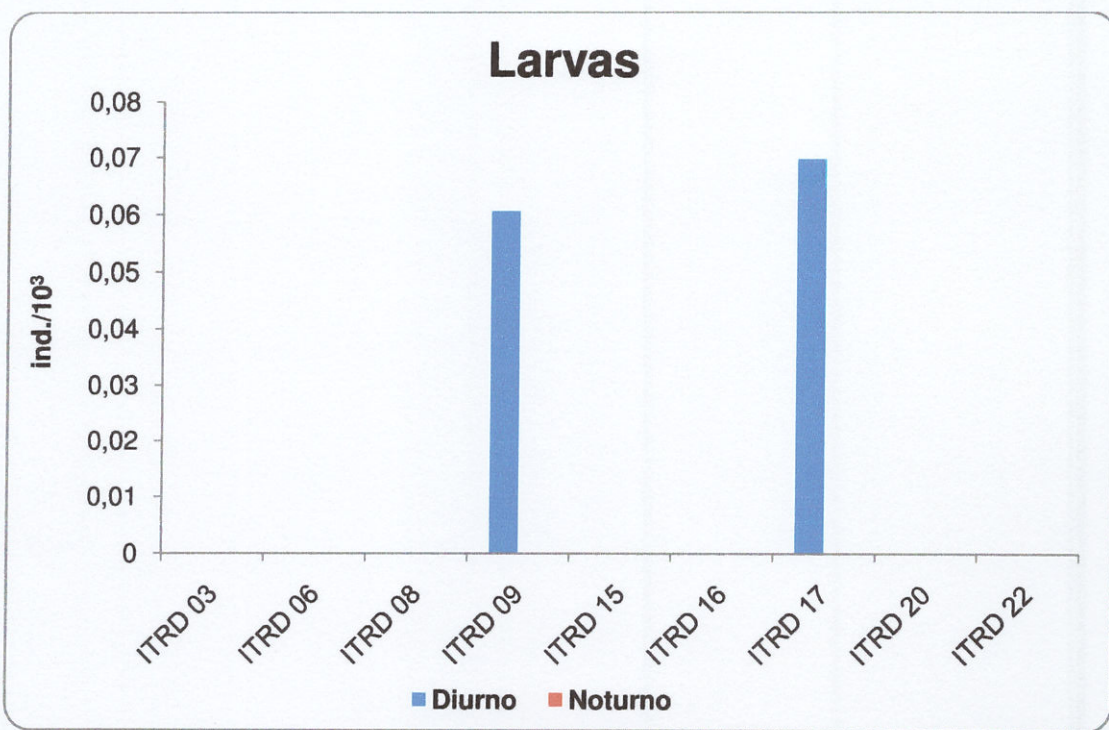


Figura 2: Densidade do ictioplâncton, por turno amostrado, capturado no reservatório de Itaparica.

Três destes ovos foram classificados como livres quanto à adesividade e em estágio de cauda livre, o que indica a desova de alguma espécie migradora que provavelmente, tem seus ovos carreados pela correnteza até o reservatório de Itaparica. Em relação às larvas apenas uma pôde ser classificada em estágio de pré-flexão, já que a outra se encontrava danificada.

1.2. Reservatório de Xingó e Baixo São Francisco

1.2.1. Frequência Mensal (*Nictemeral*)

1.2.1.1. Variáveis Ambientais

De acordo com os resultados obtidos observaram-se os seguintes valores para os parâmetros da água (Tab. 1):

Tabela 1: Variação espacial das variáveis ambientais avaliadas no Baixo São Francisco.

| Pontos | Temp. (°C) | pH | CE (µS/cm) | OD (mg/L) | Sal. (PSU) | Prof. (m) |
|-------------|------------|-----------|------------|-----------|------------|-----------|
| E.Montes 01 | 26,89±0,14 | 7,07±0,07 | 71,22±0,39 | * | 0,03 | 4,60±4,60 |

| Pontos | Temp. (°C) | pH | CE ($\mu\text{S}/\text{cm}$) | OD (mg/L) | Sal. (PSU) | Prof. (m) |
|---------------|-------------------|------------------|--------------------------------|-------------------|--------------------|------------------|
| E.Montes 02 | 26,92±0,12 | 7,14±0,12 | 71,32±0,23 | * | 0,03 | 0,20 |
| E.Montes 03 | 26,87±0,12 | 7,15±0,16 | 71,23±0,23 | * | 0,03 | 2,60±2,51 |
| E.Montes 04 | 26,88±0,14 | 7,14±0,09 | 70,90±1,05 | * | 0,03 | 2,27±2,17 |
| E.Montes 05 | 26,87±0,12 | 7,13±0,08 | 71,25±0,27 | * | 0,03 | 5,60±5,64 |
| R.Capiá 03 | 26,90±0,43 | 7,17±0,28 | 70,97±0,62 | * | 0,03 | 0,20 |
| B.Monte 01 | 27,54±0,50 | 7,95±0,69 | 72,43±1,18 | * | 0,03 | 2,85±2,77 |
| B.Monte 02 | 27,43±0,36 | 7,64±0,27 | 70,23±6,33 | * | 0,03 | 1,60±1,46 |
| B.Monte 03 | 27,45±0,36 | 7,62±0,20 | 72,22±0,90 | * | 0,03 | 1,60±1,46 |
| B.Monte 04 | 27,45±0,20 | 7,63±0,22 | 71,79±0,48 | * | 0,03 | 2,10±1,98 |
| R.Ipanema 01 | 27,53±0,24 | 7,85±0,49 | 72,08±0,59 | * | 0,03 | 0,20 |
| R.Ipanema 02 | 27,48±0,19 | 7,77±0,45 | 71,77±0,40 | * | 0,03 | 0,20 |
| R.Ipanema 03 | 27,46±0,20 | 7,62±0,22 | 71,83±0,38 | * | 0,03 | 3,60±3,55 |
| R.Capivara 01 | 27,46±0,43 | 7,68±0,37 | 72,74±0,79 | * | 0,03 | 4,60±4,60 |
| R.Traipú 01 | 27,77±0,48 | 7,68±0,32 | 72,18±1,35 | * | 0,03 | 0,20 |
| R.Traipú 02 | 27,77±0,42 | 7,68±0,39 | 71,84±0,76 | * | 0,03 | 2,85±2,77 |
| Traipú 01 | 27,75±0,38 | 7,61±0,22 | 71,69±0,61 | * | 0,03 | 3,85±3,81 |
| Traipú 02 | 27,82±0,57 | 7,84±0,72 | 71,94±1,48 | * | 0,03 | 2,60±2,51 |
| Traipú 03 | 27,72±0,35 | 7,67±0,17 | 71,80±0,44 | * | 0,03 | 0,20 |
| Traipú 04 | 27,78±0,27 | 7,66±0,08 | 71,45±1,23 | * | 0,03 | 2,60±2,51 |
| Traipú 05 | 27,72±0,39 | 7,61±0,16 | 71,09±1,35 | * | 0,03 | 3,60±3,55 |
| Traipú 06 | 27,62±0,38 | 7,67±0,17 | 71,67±0,43 | * | 0,03 | 4,60±4,60 |
| Propriá 01 | 27,92±0,46 | 7,64±0,26 | 71,68±0,76 | * | 0,03 | 2,60±2,51 |
| Propriá 02 | 27,93±0,44 | 7,69±0,26 | 71,99±1,48 | 6,97±0,98 | 0,03 | 4,10±4,07 |
| Propriá 03 | 28,75±0,81 | 7,98±0,85 | 73,62±1,56 | * | 0,03 | 0,20 |
| Penedo 01 | 28,07±0,20 | 7,76±0,22 | 72,07±0,48 | 8,56±1,64 | 0,03 | 4,52±4,54 |
| Penedo 02 | 28,08±0,20 | 7,89±0,33 | 72,10±0,74 | 7,85±3,59 | 0,03 | 0,20 |
| Penedo 03 | 28,08±0,32 | 7,76±0,29 | 72,88±2,02 | 9,45±3,08 | 0,03 | 2,52±2,47 |
| Piaçabuçu 01 | 28,14±0,22 | 7,70±0,15 | 8371,40±14233,03 | 9,46±2,69 | 4,99±8,71 | 2,88±2,86 |
| Piaçabuçu 02 | 28,33±0,25 | 7,84±0,12 | 8054,67±10526,60 | 6,78±3,00 | 4,46±6,05 | 1,48±1,38 |
| Piaçabuçu 03 | 28,14±0,25 | 7,88±0,18 | 20575,17±19542,07 | 9,14±2,52 | 12,25±12,14 | 4,06±4,06 |
| Foz.SF 01 | 28,41±0,50 | 7,97±0,11 | 16924,08±22546,04 | 10,95±2,94 | 9,69±14,00 | 2,35±2,46 |
| Foz.SF 02 | 28,27±0,34 | 8,01±0,09 | 71703,58±152585,91 | 10,40±2,62 | 17,99±11,97 | 1,68±1,59 |
| Foz.SF 03 | 28,48±0,41 | 7,91±0,23 | 35929,50±25726,26 | 12,52±2,51 | 18,72±13,17 | 4,77±4,79 |

*O sensor da sonda multiparâmetros apresentou problemas.

1.2.1.2. Parâmetros Biológicos

As análises biológicas evidenciaram a captura de 49 ovos, 66 larvas e apenas um jovem pertencente a espécie *Gobionellus oceanicus* (Pallas, 1770), tendo sido coletadas 360 amostras. A maior densidade de ovos foi observada no ponto Foz.SF 02 ($0,195 \text{ ind.L}/10^3$), de larvas no Piaçabuçú 03 ($1,288 \text{ ind.}/10^3$) e de jovens exclusivamente no ponto Foz.SF 03 ($0,019 \text{ ind.}/10^3$), (Tab. 2).

Tabela 2: Variação espacial das densidades do ictioplâncton capturado no Baixo São Francisco.

| Pontos | Ovos | Larvas | Jovens |
|---------------|-----------------|-----------------|--------|
| E.Montes 01 | 0,000 | $0,073\pm0,254$ | 0,000 |
| E.Montes 02 | 0,000 | 0,000 | 0,000 |
| E.Montes 03 | 0,000 | 0,000 | 0,000 |
| E.Montes 04 | $0,148\pm0,514$ | $0,081\pm0,281$ | 0,000 |
| E.Montes 05 | 0,000 | 0,000 | 0,000 |
| R.Capiá 03 | 0,000 | 0,000 | 0,000 |
| B.Monte 01 | 0,000 | 0,000 | 0,000 |
| B.Monte 02 | $0,099\pm0,326$ | 0,000 | 0,000 |
| B.Monte 03 | 0,000 | $0,091\pm0,317$ | 0,000 |
| B.Monte 04 | 0,000 | $0,007\pm0,025$ | 0,000 |
| R.Ipanema 01 | 0,000 | 0,000 | 0,000 |
| R.Ipanema 02 | 0,000 | 0,000 | 0,000 |
| R.Ipanema 03 | 0,000 | 0,000 | 0,000 |
| R.Capivara 01 | 0,000 | 0,000 | 0,000 |
| R.Traipú 01 | 0,000 | $0,183\pm0,448$ | 0,000 |
| R.Traipú 02 | $0,035\pm0,122$ | $0,079\pm0,185$ | 0,000 |
| Traipú 01 | 0,000 | 0,000 | 0,000 |
| Traipú 02 | 0,000 | 0,000 | 0,000 |
| Traipú 03 | 0,000 | 0,000 | 0,000 |
| Traipú 04 | 0,000 | 0,000 | 0,000 |
| Traipú 05 | 0,000 | 0,000 | 0,000 |
| Traipú 06 | 0,000 | 0,000 | 0,000 |
| Propriá 01 | $0,006\pm0,022$ | 0,000 | 0,000 |
| Propriá 02 | 0,000 | 0,000 | 0,000 |
| Propriá 03 | 0,000 | 0,000 | 0,000 |
| Penedo 01 | $0,066\pm0,154$ | $0,016\pm0,032$ | 0,000 |
| Penedo 02 | $0,112\pm0,275$ | $0,188\pm0,460$ | 0,000 |
| Penedo 03 | 0,000 | 0,000 | 0,000 |

| Pontos | Ovos | Larvas | Jovens |
|---------------------|--------------------|--------------------|--------------------|
| Piaçabuçu 01 | 0,000 | 0,700±1,148 | 0,000 |
| Piaçabuçu 02 | 0,019±0,067 | 0,401±1,365 | 0,000 |
| Piaçabuçu 03 | 0,000 | 1,288±4,366 | 0,000 |
| Foz.SF 01 | 0,000 | 0,134±0,257 | 0,000 |
| Foz.SF 02 | 0,195±0,067 | 0,080±0,144 | 0,000 |
| Foz.SF 03 | 0,007±0,017 | 0,050±0,131 | 0,019±0,066 |

Quanto à adesividade dos ovos, a maioria foi classificada como livre, com pico no ponto Foz.SF 02 (0,19 ind./10³), indicando a desova de peixes migradores (Fig. 3).

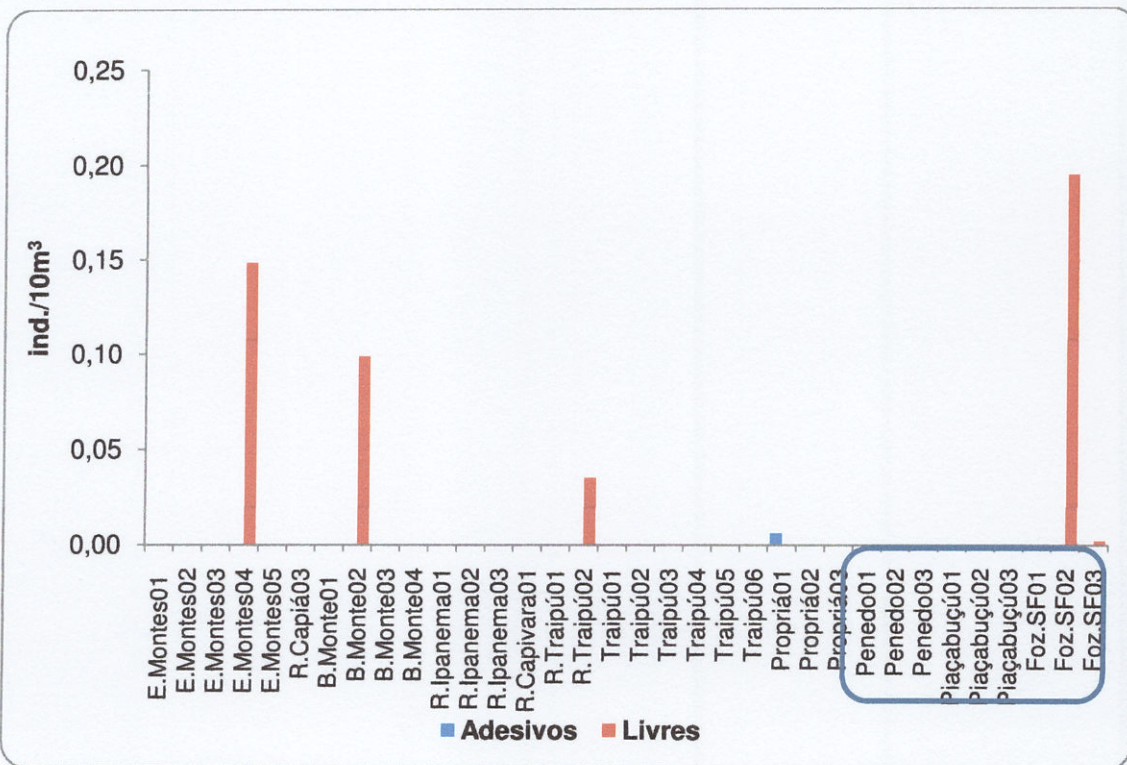


Figura 3: Densidade média dos ovos de peixes quanto à adesividade, capturados no Baixo São Francisco. Em destaque a região estuarina.

De acordo com os resultados obtidos, foram capturados ovos apenas em estágio de clivagem inicial e embrião inicial, enquanto que as larvas em todos os estágios de desenvolvimento. Os ovos em estágio de clivagem inicial apresentaram a maior densidade (0,343 ind./10m³) e as larvas em pré-flexão (1,477 ind./10m³), (Figura 4).

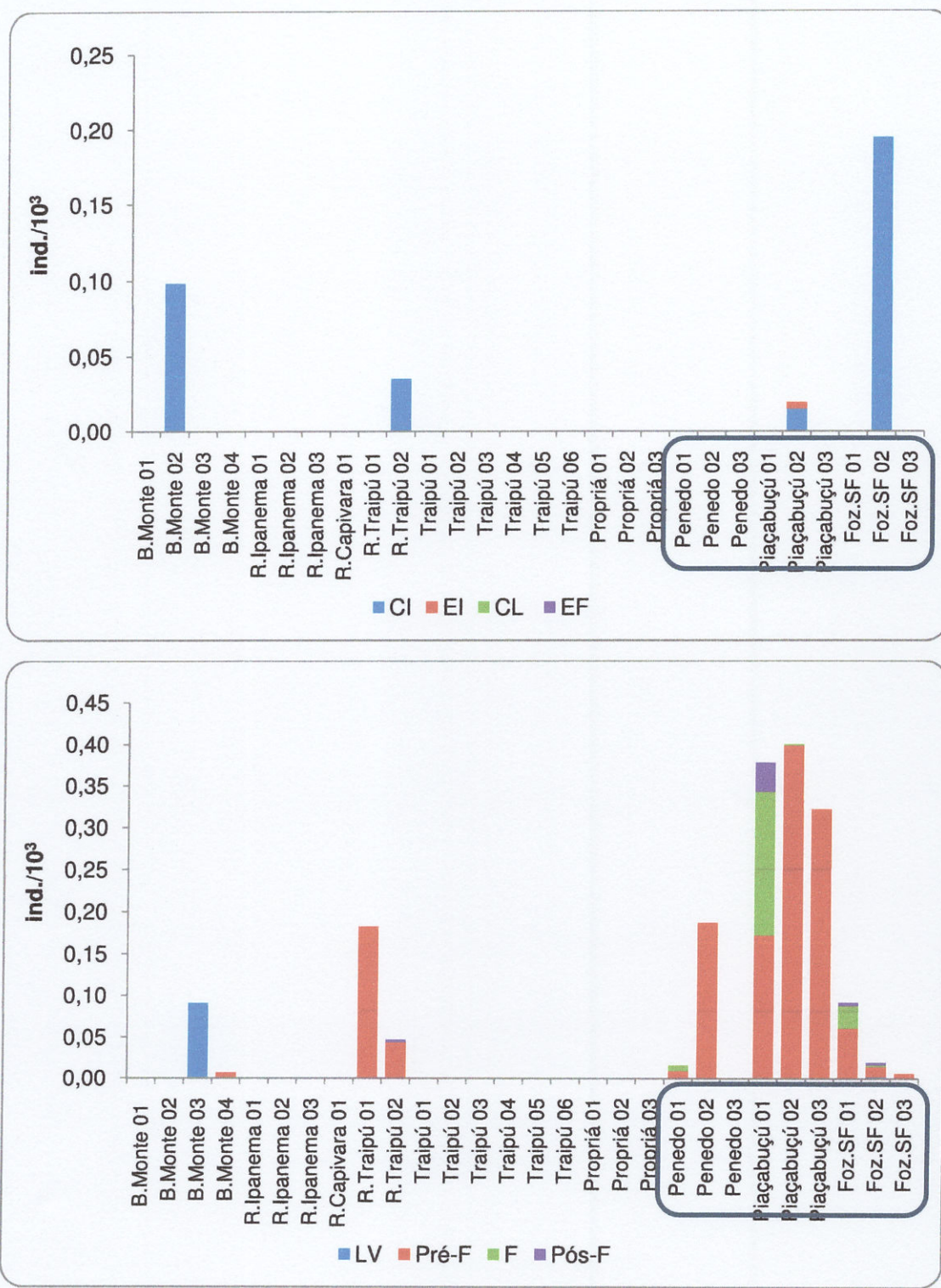


Figura 4: Variação especial do ictioplâncton capturado no Baixo São Francisco. *Ovos: CI = Clivagem Inicial, EI = Embrião Inicial, EF = Embrião Final, CL = Cauda Livre. Larvas: LV = Larval Vitelino, Pré-F = Pré-flexão, F = Flexão, Pós-F = Pós-Flexão. Em destaque a região estuarina.

Observou-se que a maior abundância relativa foi de larvas pertencentes a ordem Characiformes, sobretudo nos pontos E.Montes01 e 04, B.Monte04, R.Traipú01 e 02, e Penedo01 (100,00%), (Fig. 5).

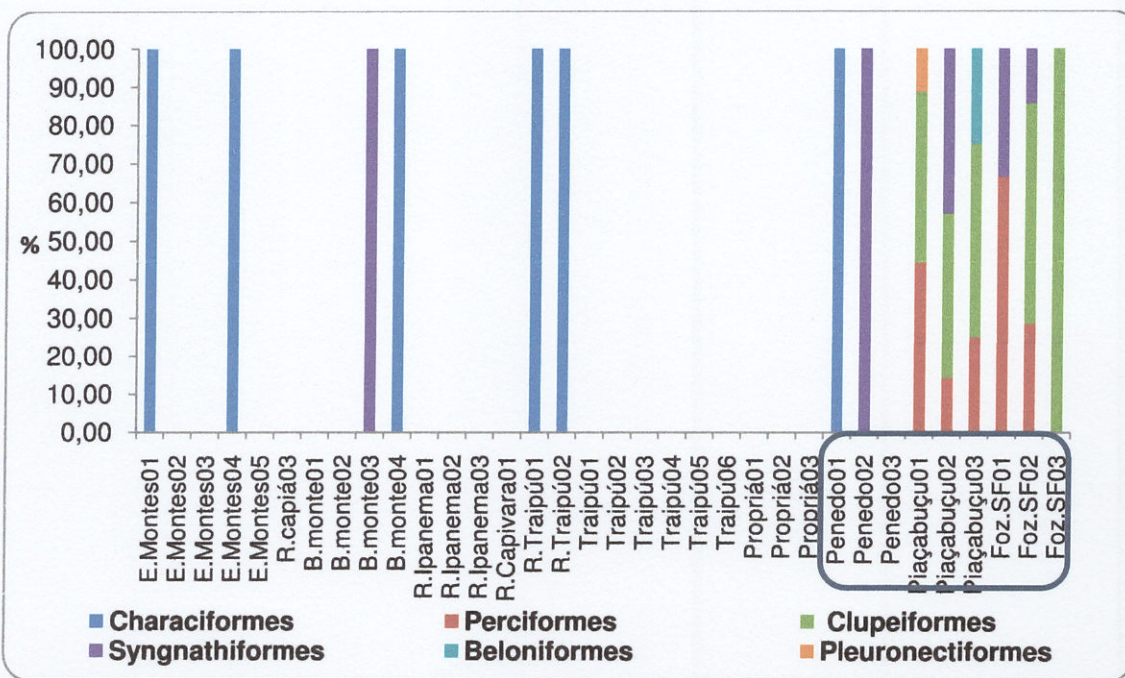


Figura 5: Participação espacial relativa das diferentes ordens larvas de peixes, capturadas no Baixo São Francisco. *Em destaque a região considerada estuarina.

Foram identificados 16 taxa de larvas, sendo 1 no estuário: Syngnathidae e 15 taxa: *Hyphoramphus unifasciatus* (Ranzani, 1842), *Gobionellus oceanicus* (Pallas, 1770), *Achirus* sp., *Ctenogobius* sp., *Leporinus* sp., *Serrasalmus* sp., Tetragonopterinae, Serrasalminae, Achiridae, Characidae, Clupeidae, Gobiidae, Sciaenidae, Syngnathidae e Clupeiformes, que ocorreram tanto em ambientes dulcícolas, quanto estuarinos. Observou-se que a região estuarina, mais propriamente a estação Foz.SF, apresentou o maior número de taxa. As maiores densidades foram registradas no ponto Piaçabuçú 01, sobretudo do gênero *Ctenogobius* sp. (Fig. 6).

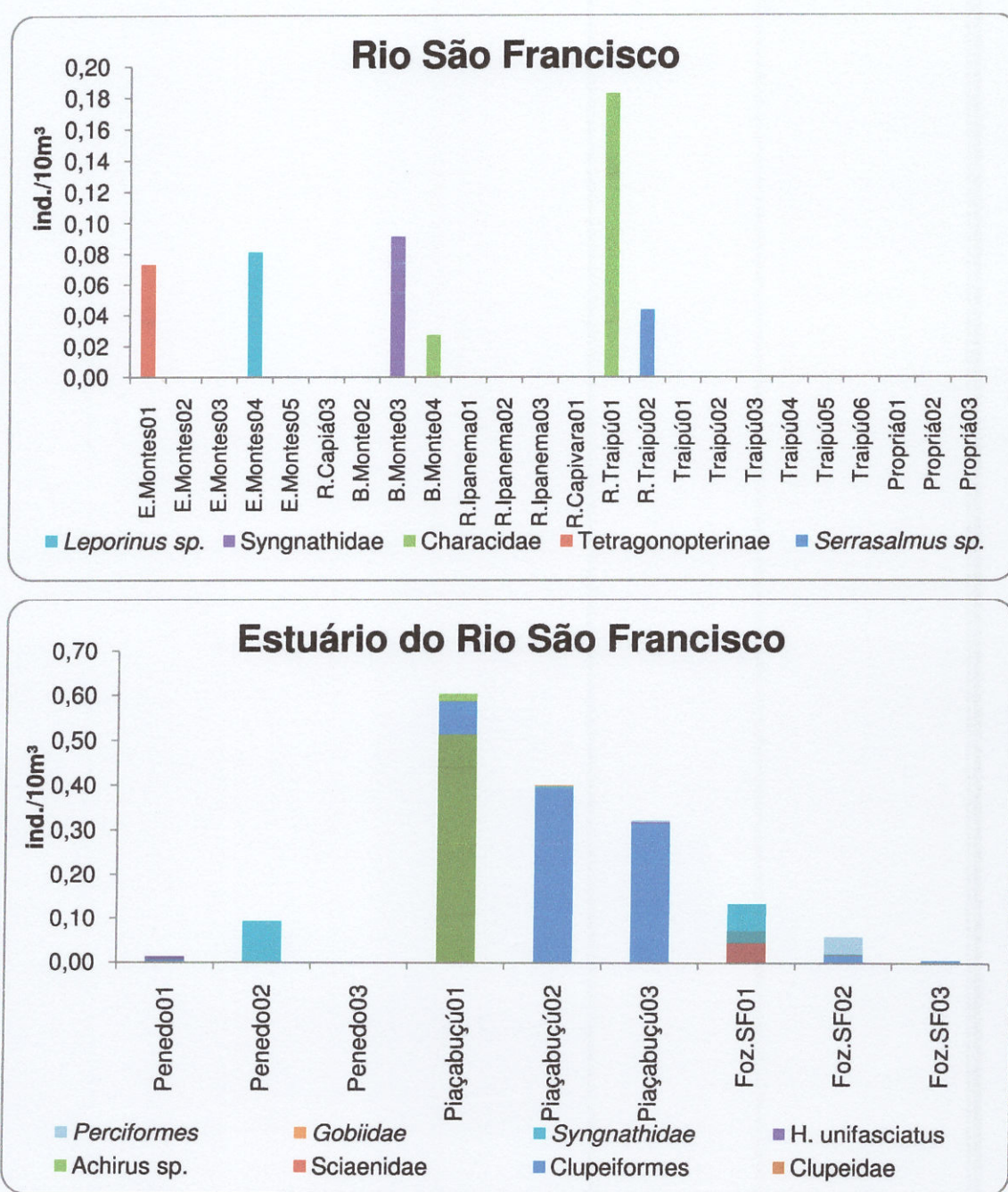


Figura 6: Variação espacial dos taxa larvais capturadas no Baixo São Francisco.

1.2.2. Frequência Bimestral (associada à ictiofauna)

Foram analisadas 34 amostras do ictioplâncton, totalizando em 4 larvas, todas em estágio de pré-flexão; 2 destas sendo classificadas como Clupeiformes, no ponto XINRD 02 e 1 como Characidae, no ponto BSFRD 08, todas no fundo.

1.2.3. Frequência Trimestral (associada à Limnologia)

1.2.3.1. Variáveis Ambientais

De acordo com os resultados obtidos na primeira campanha de 2015, o reservatório de Xingó apresentou uma maior amplitude térmica do que a região do Baixo São Francisco (4,27), com as maiores médias de temperatura observadas geralmente na superfície (29,91 °C). Os valores de pH se mantiveram de neutro a levemente alcalino, com pico registrado no ponto XIN 03 – na superfície 9,56). O maior valor da condutividade elétrica foi registrado no ponto BSF 18, no fundo (49611,90 µS/cm). Em geral, a maioria dos pontos apresentou-se bem oxigenada, exceto o ponto XIN 05 – no fundo (3,51 mg/L). Os maiores valores de salinidade foram registrados no ponto BSF 18 – no fundo (32,38 PSU), enquanto que a maior profundidade foi observada no ponto XIN 11 (150,00 m), (Tab. 3).

Tabela 3: Variação espacial dos parâmetros da água medidos em campo, provenientes do reservatório de Xingó e do Baixo São Francisco.

| Estação | Estrato | Temperatura (°C) | pH | Condutividade Elétrica (µS/cm) | Oxigênio Dissolvido (mg/L) | Salinidade (PSU) | Prof. (m) |
|---------|------------|------------------|-------------|--------------------------------|----------------------------|------------------|-----------|
| XIN 01 | Superfície | 27,29 | 8,34 | 70,20 | 6,69 | 0,02 | 0,20 |
| | Fundo | 27,18 | 8,31 | 69,90 | 6,68 | 0,02 | 34,00 |
| XIN 02 | Superfície | 29,71 | 9,46 | 76,30 | 10,70 | 0,03 | 0,20 |
| | Fundo | 27,34 | 8,23 | 70,70 | 6,51 | 0,02 | 58,00 |
| XIN 03 | Superfície | 29,02 | 9,56 | 86,90 | 10,11 | 0,02 | 0,20 |
| | Fundo | 27,84 | 8,28 | 55,00 | 6,28 | 0,01 | 49,00 |
| XIN 04 | Superfície | 28,98 | 9,11 | 71,20 | 8,55 | 0,02 | 0,20 |
| | Fundo | 28,88 | 9,15 | 71,40 | 8,61 | 0,02 | 94,00 |
| XIN 05 | Superfície | 28,51 | 8,20 | 70,50 | 7,66 | 0,02 | 0,20 |
| | Fundo | 26,27 | 7,80 | 73,40 | 3,51 | 0,02 | 93,00 |
| XIN 06 | Superfície | 28,12 | 8,88 | 70,50 | 7,46 | 0,02 | 0,20 |
| | Fundo | 27,24 | 8,55 | 70,60 | 6,32 | 0,02 | 50,00 |
| XIN 07 | Superfície | 28,54 | 9,08 | 71,30 | 7,91 | 0,02 | 0,20 |
| | Fundo | 28,05 | 8,73 | 70,70 | 6,30 | 0,02 | 19,00 |
| XIN 08 | Superfície | 28,06 | 8,80 | 70,50 | 7,18 | 0,02 | 0,20 |
| | Fundo | 25,64 | 8,25 | 72,30 | 3,51 | 0,02 | 65,00 |
| XIN 09 | Superfície | 28,68 | 8,87 | 70,90 | 6,65 | 0,02 | 0,20 |
| | Fundo | 28,66 | 8,51 | 70,80 | 6,64 | 0,02 | 40,00 |
| XIN 10 | Superfície | 29,91 | 8,94 | 71,80 | 7,60 | 0,02 | 0,20 |

| Estação | Estrato | Temperatura (°C) | pH | Condutividade Elétrica (µS/cm) | Oxigênio Dissolvido (mg/L) | Salinidade (PSU) | Prof. (m) |
|---------|------------|------------------|-------------|--------------------------------|----------------------------|------------------|--------------|
| | Fundo | 27,39 | 7,95 | 71,30 | * | 0,02 | 15,00 |
| XIN 11 | Superfície | 27,84 | 8,34 | 70,10 | 7,01 | 0,02 | 0,20 |
| | Fundo | 27,84 | 8,34 | 70,00 | 7,07 | 0,02 | 150,00 |
| BSF 03 | Superfície | 28,19 | 8,40 | 70,00 | 7,10 | 0,02 | 0,20 |
| | Fundo | 28,19 | 8,35 | 70,10 | 7,09 | 0,02 | 3,00 |
| BSF 04 | Superfície | 28,69 | 9,07 | 71,90 | 8,68 | 0,20 | 0,20 |
| BSF 05 | Superfície | 27,85 | 8,14 | 70,50 | 7,02 | 0,20 | 0,20 |
| BSF 06 | Superfície | 27,92 | 8,00 | 70,40 | 6,82 | 0,20 | 0,20 |
| | Fundo | 27,93 | 8,05 | 70,30 | 6,86 | 0,20 | 9,40 |
| BSF 07 | Superfície | 27,52 | 7,87 | 70,40 | 6,80 | 0,20 | 0,20 |
| | Fundo | 27,52 | 8,00 | 70,60 | 6,82 | 0,20 | 4,30 |
| BSF 08 | Superfície | 27,67 | 8,20 | 70,30 | 7,09 | 0,20 | 0,20 |
| | Fundo | 27,67 | 8,20 | 70,30 | 7,10 | 0,20 | 3,70 |
| BSF 09 | Superfície | 27,84 | 8,21 | 70,10 | 7,14 | 0,20 | 0,20 |
| | Fundo | 27,86 | 8,24 | 70,00 | 7,15 | 0,20 | 7,40 |
| BSF 10 | Superfície | 28,15 | 8,48 | 70,00 | 7,50 | 0,20 | 0,20 |
| BSF 11 | Superfície | 27,78 | 8,41 | 70,20 | 7,09 | 0,20 | 0,20 |
| | Fundo | 27,78 | 8,39 | 70,20 | 7,10 | 0,20 | 3,50 |
| BSF 12 | Superfície | 28,12 | 8,35 | 70,30 | 7,02 | 0,20 | 0,20 |
| | Fundo | 28,11 | 8,35 | 70,10 | 7,03 | 0,20 | 6,20 |
| BSF 13 | Superfície | 28,53 | 8,40 | 70,50 | 7,13 | 0,20 | 0,20 |
| | Fundo | 28,44 | 8,40 | 70,20 | 7,07 | 0,20 | 7,20 |
| BSF 14 | Superfície | 28,91 | 8,54 | 71,70 | 7,53 | 0,20 | 0,20 |
| | Fundo | 28,59 | 8,22 | 71,60 | 6,73 | 0,20 | 7,30 |
| BSF 15 | Superfície | 28,90 | 8,17 | 72,50 | 6,61 | 0,20 | 0,20 |
| | Fundo | 28,77 | 8,17 | 72,20 | 6,91 | 0,20 | 4,90 |
| BSF 16 | Superfície | 29,05 | 8,23 | 625,30 | 6,97 | 0,20 | 0,20 |
| BSF 17 | Superfície | 29,46 | 8,45 | 733,10 | 7,17 | 0,41 | 0,20 |
| | Fundo | 29,37 | 8,44 | 4721,30 | 7,08 | 3,14 | 5,30 |
| BSF 18 | Superfície | 29,86 | 8,52 | 1989,60 | 7,29 | 7,08 | 0,20 |
| | Fundo | 28,22 | 8,39 | 49611,90 | 5,87 | 32,38 | 10,00 |

Em destaque os valores máximos e mínimos registrados./*Problemas com o sensor da sonda.

- **Parâmetros Biológicos**

Foram analisadas 50 amostras, totalizando apenas 12 ovos e 4 larvas; os jovens não foram capturados. No reservatório de Xingó os ovos não foram registrados em nenhuma estação e a maior densidade larval foi observada no ponto BSF18 (0,15 ind./10m³). Na região do Baixo São Francisco, o pico de densidade de ovos foi observado no ponto BSF 11 (0,35 ind./10m³), (Tab. 4).

Tabela 4: Variação espacial das densidades do ictioplâncton capturado no reservatório de Xingó e no Baixo São Francisco.

| Estação | Ovos | Larvas | Jovens |
|---------|------------------|------------------|-----------|
| XIN01 | 0,00±0,00 | 0,00±0,00 | 0,00±0,00 |
| XIN02 | 0,00±0,00 | 0,00±0,00 | 0,00±0,00 |
| XIN03 | 0,00±0,00 | 0,00±0,00 | 0,00±0,00 |
| XIN04 | 0,00±0,00 | 0,00±0,00 | 0,00±0,00 |
| XIN05 | 0,00±0,00 | 0,00±0,00 | 0,00±0,00 |
| XIN06 | 0,00±0,00 | 0,00±0,00 | 0,00±0,00 |
| XIN07 | 0,00±0,00 | 0,00±0,00 | 0,00±0,00 |
| XIN08 | 0,00±0,00 | 0,00±0,00 | 0,00±0,00 |
| XIN09 | 0,00±0,00 | 0,00±0,00 | 0,00±0,00 |
| XIN10 | 0,00±0,00 | 0,00±0,00 | 0,00±0,00 |
| XIN11 | 0,00±0,00 | 0,00±0,00 | 0,00±0,00 |
| BSF03 | 0,00±0,00 | 0,00±0,00 | 0,00±0,00 |
| BSF04 | 0,00±0,00 | 0,00±0,00 | 0,00±0,00 |
| BSF05 | 0,09±0,00 | 0,00±0,00 | 0,00±0,00 |
| BSF06 | 0,04±0,01 | 0,02±0,02 | 0,00±0,00 |
| BSF07 | 0,00±0,00 | 0,00±0,00 | 0,00±0,00 |
| BSF08 | 0,02±0,03 | 0,00±0,00 | 0,00±0,00 |
| BSF09 | 0,02±0,03 | 0,00±0,00 | 0,00±0,00 |
| BSF10 | 0,00±0,00 | 0,00±0,00 | 0,00±0,00 |
| BSF11 | 0,35±0,49 | 0,00±0,00 | 0,00±0,00 |
| BSF12 | 0,00±0,00 | 0,00±0,00 | 0,00±0,00 |
| BSF13 | 0,00±0,00 | 0,00±0,00 | 0,00±0,00 |
| BSF14 | 0,00±0,00 | 0,00±0,00 | 0,00±0,00 |
| BSF15 | 0,00±0,00 | 0,00±0,00 | 0,00±0,00 |
| BSF16 | 0,00±0,00 | 0,00±0,00 | 0,00±0,00 |
| BSF17 | 0,00±0,00 | 0,11±0,16 | 0,00±0,00 |
| BSF18 | 0,00±0,00 | 0,15±0,21 | 0,00±0,00 |

| Estação | Ovos | Larvas | Jovens |
|----------------|-------------|---------------|---------------|
| Total | 0,52 | 0,28 | 0,00 |

Dos 12 ovos capturados, 5 encontravam-se em bom estado de conservação e assim puderam ser classificados como livres, quanto à adesividade, 2 ovos na estação BSF 05 – superfície; 2 ovos na BSF 06 – um na superfície e um no fundo; e um no BSF 09 – na superfície.

Em relação ao estrato analisado, 8 ovos foram capturados no fundo e apenas 4 na superfície, entretanto, todos foram registrados no Baixo São Francisco; enquanto que, as larvas foram capturadas principalmente, na superfície (3 organismos).

- **Classificação nos estágios de desenvolvimento**

Em relação aos estágios de desenvolvimento, os ovos foram classificados, sobretudo, em estágio de embrião final (0,08 ind./10m³). Capturaram-se larvas apenas nos estágios de pré-flexão e pós-flexão, tendo as primeiras alcançado a maior densidade (0,27 ind./10m³). Espacialmente, os ovos e as larvas apresentaram baixa distribuição, ocorrendo apenas no Baixo São Francisco (Tab. 5).

Tabela 5: Variação espacial das densidades de ovos e larvas, por estágio de desenvolvimento, provenientes do reservatório de Xingó e do Baixo São Francisco.

| Estação | OVOS | | | | LARVAS | | | |
|---------|------|------|------|------|--------|-------|------|-------|
| | CI | EI | CL | EF | LV | Pré-F | F | Pós-F |
| XIN 01 | 0,00 | 0,00 | 0,00 | 0,00 | 0,00 | 0,00 | 0,00 | 0,00 |
| XIN 02 | 0,00 | 0,00 | 0,00 | 0,00 | 0,00 | 0,00 | 0,00 | 0,00 |
| XIN 03 | 0,00 | 0,00 | 0,00 | 0,00 | 0,00 | 0,00 | 0,00 | 0,00 |
| XIN 04 | 0,00 | 0,00 | 0,00 | 0,00 | 0,00 | 0,00 | 0,00 | 0,00 |
| XIN 05 | 0,00 | 0,00 | 0,00 | 0,00 | 0,00 | 0,00 | 0,00 | 0,00 |
| XIN 06 | 0,00 | 0,00 | 0,00 | 0,00 | 0,00 | 0,00 | 0,00 | 0,00 |
| XIN 07 | 0,00 | 0,00 | 0,00 | 0,00 | 0,00 | 0,00 | 0,00 | 0,00 |
| XIN 08 | 0,00 | 0,00 | 0,00 | 0,00 | 0,00 | 0,00 | 0,00 | 0,00 |
| XIN 09 | 0,00 | 0,00 | 0,00 | 0,00 | 0,00 | 0,00 | 0,00 | 0,00 |
| XIN 10 | 0,00 | 0,00 | 0,00 | 0,00 | 0,00 | 0,00 | 0,00 | 0,00 |
| XIN 11 | 0,00 | 0,00 | 0,00 | 0,00 | 0,00 | 0,00 | 0,00 | 0,00 |
| BSF 03 | 0,00 | 0,00 | 0,00 | 0,00 | 0,00 | 0,00 | 0,00 | 0,00 |
| BSF 04 | 0,00 | 0,00 | 0,00 | 0,00 | 0,00 | 0,00 | 0,00 | 0,00 |
| BSF 05 | 0,00 | 0,05 | 0,00 | 0,05 | 0,00 | 0,00 | 0,00 | 0,00 |

| Estação | OVOS | | | | LARVAS | | | |
|---------------|------|------|------|-------------|--------|-------------|------|-------|
| | CI | EI | CL | EF | LV | Pré-F | F | Pós-F |
| BSF 06 | 0,00 | 0,00 | 0,00 | 0,04 | 0,00 | 0,00 | 0,00 | 0,02 |
| BSF 07 | 0,00 | 0,00 | 0,00 | 0,00 | 0,00 | 0,00 | 0,00 | 0,00 |
| BSF 08 | 0,00 | 0,00 | 0,00 | 0,00 | 0,00 | 0,00 | 0,00 | 0,00 |
| BSF 09 | 0,00 | 0,02 | 0,00 | 0,00 | 0,00 | 0,00 | 0,00 | 0,00 |
| BSF 10 | 0,00 | 0,00 | 0,00 | 0,00 | 0,00 | 0,00 | 0,00 | 0,00 |
| BSF 11 | 0,00 | 0,00 | 0,00 | 0,00 | 0,00 | 0,00 | 0,00 | 0,00 |
| BSF 12 | 0,00 | 0,00 | 0,00 | 0,00 | 0,00 | 0,00 | 0,00 | 0,00 |
| BSF 13 | 0,00 | 0,00 | 0,00 | 0,00 | 0,00 | 0,00 | 0,00 | 0,00 |
| BSF 14 | 0,00 | 0,00 | 0,00 | 0,00 | 0,00 | 0,00 | 0,00 | 0,00 |
| BSF 15 | 0,00 | 0,00 | 0,00 | 0,00 | 0,00 | 0,00 | 0,00 | 0,00 |
| BSF 16 | 0,00 | 0,00 | 0,00 | 0,00 | 0,00 | 0,00 | 0,00 | 0,00 |
| BSF 17 | 0,00 | 0,00 | 0,00 | 0,00 | 0,00 | 0,11 | 0,00 | 0,00 |
| BSF 18 | 0,00 | 0,00 | 0,00 | 0,00 | 0,00 | 0,15 | 0,00 | 0,00 |
| Total | 0,00 | 0,06 | 0,00 | 0,08 | 0,00 | 0,27 | 0,00 | 0,02 |

*CI = Clivagem Inicial, EI = Embrião Inicial, CL = Cauda Livre, EF = Embrião Final. Larvas: LV = Larval Vitelino, Pré-F = Pré-flexão, F = Flexão, Pós-Flexão.

2. MONITORAMENTO DA ICTIOFAUNA

As amostragens para o monitoramento da ictiofauna acontecem com frequência bimestral, no âmbito dos programas de monitoramento de ecossistemas aquáticos. No mês de fevereiro/2015, foram realizadas amostragens no Reservatório da UHE Xingó e no Baixo São Francisco.

2.1. Reservatório de Xingó e Baixo São Francisco

No período de 04 a 14/02/2015, realizou-se a sétima campanha de amostragem para o monitoramento da ictiofauna na área de influência da UHE Xingó. Nessa campanha, foram amostrados 10 pontos, conforme apresentado na tabela a seguir.



Tabela 6: Pontos de amostragem da ictiofauna – Xingó e Baixo São Francisco (Fevereiro/2015)

| Nomenclatura nova | Apetrechos | Cidade | Trecho | PONTOS DO RESERVATÓRIO (MONTANTE) | | Referência | Caracterização |
|--|---------------------------------|-------------------|---|-----------------------------------|--|--|----------------|
| PONTOS DO BAIXO SÃO FRANCISCO (JUSANTE) | | | | | | | |
| XINRD 01 | Rede de espera | Paulo Afonso - BA | Lêntico/Rio São Francisco | 24L 0592513 8956327 | Centro, próximo ao Pov. Rio do Sal – Paulo Afonso. | Área de pouca correnteza, com vegetação nas margens. | |
| XINRD 02 | Rede de espera | Paulo Afonso - BA | Lêntico/Rio São Francisco | 24L 0592090 8955638 | Margem direita, próximo ao Pov. Rio do Sal – Paulo Afonso. | Área de remanso, “braço” do rio, com vegetação nas margens. | |
| XINRD 03 | Rede de espera | Paulo Afonso - BA | Transição/Rio São Francisco | 24L 0592604 8955917 | Centro, próximo ao Pov. Rio do Sal – Paulo Afonso | Área de pouca correnteza, com vegetação nas margens. | |
| BSFRD 01 | Rede de espera | Piranhas - AL | Transição/Rio Capiá/Rio São Francisco | 24L 647253 8930004 | Margem esquerda, próximo à confluência dos rios Capiá e São Francisco. | Área de remanso, com macrofitas de emergentes e submersas. | |
| BSFRD 04 | Tarrafa, rede de arrasto e puçá | Piranhas - AL | Transição/Rio Capiá/Rio São Francisco | 24L 647165 8930197 | Margem esquerda, confluência dos rios Capiá e São Francisco. | Desembocadura do Rio Capiá no São Francisco, com pouca profundidade e fundo de areia e rochas. | |
| BSFRD 05 | Tarrafa, rede de arrasto e puçá | Belo Monte - AL | Transição/Rio Ipanema/Rio São Francisco | 24L 692535 8906825 | Margem esquerda, próximo ao Pov. Barra do Ipanema – Belo Monte (AL). | Área de remanso, na desembocadura do Rio Ipanema no São Francisco, com pouca profundidade e fundo de areia e rochas. | |
| BSFRD 06 | Rede de espera | Traipú - AL | Lótico/Rio São Francisco | 24L 717080 8896286 | Margem esquerda, acima da cidade de Traipú. | Área de remanso, com bancos de macrofitas no fundo | |



| Nomenclatura nova | Apetrechos | Cidade | Trecho | Coordenadas (UTM) | Referência | Caracterização |
|-------------------|---------------------------------|---------------------|--------------------------|-----------------------|--|--|
| | | | | | | é abaixo de uma criação de peixes em tangues rede. |
| BSFRD 08 | Rede de espera | Penedo - AL | Lótico/Rio São Francisco | 24L 764071 8861508 | Margem esquerda, próximo da cidade de Penedo (AL). | Área de remanso, com bancos de macrófitas na margem e no fundo; abaixo de uma criação de peixes em tangues rede. |
| BSFRD 13 | Rede de espera | Porto da Folha - SE | Lótico/Rio São Francisco | 24L 691407 8907460 | Margem direita, próximo ao Pov. Ilha do Ouro. | Área próxima a ilhas formadas por bancos de areia, presença de macrófitas nas margens e de fundo. |
| BSFRD 16 | Tarrafa, rede de arrasto e puçá | Traipú - AL | Lótico/Rio São Francisco | 24L 719007 8896095 | Margem direita, em frente à cidade de Traipú. | Área de pouca profundidade, com fundo de areia e banco de macrófitas submersas. |

Na amostragem realizada em fevereiro/2015 foram capturados 232 indivíduos, distribuídos em 34 (trinta e quatro) espécies, conforme pode ser observado na Tabela a seguir.



Tabela 7: Composição da ictiofauna dos pontos de amostragem - Xingó e Baixo São Francisco (fevereiro/2015)

| ORDEM | FAMÍLIA | ESPÉCIE/AUTOR | XINRD | | | | | | BSFRD | | | | | |
|-------------------|-------------------|---|-------|----|----|----|----|----|-------|----|----|----|----|----|
| | | | 01 | 02 | 03 | 01 | 04 | 05 | 06 | 07 | 08 | 09 | 10 | 11 |
| Characiformes | Acestrorhynchidae | <i>Acestrorhynchus brasiliensis</i> Menezes 1969 | 2 | 3 | 2 | | | | | | | | | |
| Characiformes | Acestrorhynchidae | <i>Acestrorhynchus lacustris</i> (Lütken 1875) | | | | 14 | | | | | | | | 1 |
| Characiformes | Anostomidae | <i>Anostomus taeniatus</i> Lütken, 1875 | | | | 2 | | | | | | | | 1 |
| Characiformes | Anostomidae | <i>Schizodon knerii</i> (Steindachner 1875) | | | | 2 | | | | | | | | |
| Characiformes | Characidae | <i>Astyanax bimaculatus</i> (Linnaeus 1758) | | | | | 2 | | 26 | | | | | 1 |
| Characiformes | Characidae | <i>Astyanax fasciatus</i> (Cuvier 1819) | | | | | | 2 | | | | | | |
| Characiformes | Characidae | <i>Bryconops affinis</i> (Günther 1864) | 2 | | 3 | | | | 1 | | | | | |
| Characiformes | Characidae | <i>Metynnis lippincottianus</i> (Cope 1870) | | | | 1 | 1 | | | | | | | 1 |
| Characiformes | Characidae | <i>Metynnis maculatus</i> (Kner 1858) | | | | 3 | | | | | | | | 2 |
| Characiformes | Characidae | <i>Moenkhausia costata</i> (Steindachner 1907) | | | | | 4 | | | | | | | 7 |
| Characiformes | Characidae | <i>Pygocentrus piraya</i> (Cuvier 1819) | | | | | | 1 | | | | | | |
| Characiformes | Characidae | <i>Pygocentrus sp.</i> | | | | | | 1 | | | | | | 1 |
| Characiformes | Characidae | <i>Serrasalmus brandtii</i> Lütken 1875 | | | | 1 | | | 6 | | | | | 1 |
| Characiformes | Characidae | <i>Tropidodus guentheri</i> (Günther, 1890) | | | | 1 | | | 6 | | | | | 1 |
| Characiformes | Curimatidae | <i>Curimatella lepidura</i> (Eigenmann & Eigenmann, 1889) | | | | 1 | | | 5 | | | | | 1 |
| Characiformes | Erythrinidae | <i>Hoplitas lacerdae</i> Miranda Ribeiro 1908 | | | | 1 | | | 1 | | | | | 1 |
| Characiformes | Erythrinidae | <i>Hoplitas malabaricus</i> (Bloch, 1794) | | | 1 | | | | 1 | | | | | 1 |
| Characiformes | Prochilodontidae | <i>Prochilodus costatus</i> Valenciennes, 1850 | | | | 1 | | | | | | | | |
| Gymnotiformes | Sternopygidae | <i>Eigenmannia virescens</i> (Valenciennes, 1836) | | 4 | | 1 | | | | | | | | 1 |
| Gymnotiformes | Sternopygidae | <i>Sternopygus macrurus</i> (Bloch & Schneider, 1801) | | | 4 | | | | | | | | | |
| Perciformes | Centropomidae | <i>Centropomus undecimalis</i> (Bloch 1792) | | | | 1 | | | | | | | | |
| Perciformes | Cichlidae | <i>Cichla</i> sp. | | | | 1 | | | | | | | | 2 |
| Perciformes | Cichlidae | <i>Cichlasoma facetum</i> (Jenyns, 1842) | | | | 1 | | | | | | | | |
| Perciformes | Cichlidae | <i>Cichlasoma sanctifranciscense</i> Kullander 1983 | | | | 1 | | | | | | | | |
| Perciformes | Cichlidae | <i>Crenicichla lepidota</i> Heckel 1840 | | | | 1 | | | | | | | | 1 |
| Perciformes | Cichlidae | <i>Oreochromis niloticus</i> (Linnaeus 1758) | | | | 1 | | | 2 | | | | | 7 |
| Perciformes | Gobiidae | <i>Awaous tajasicus</i> (Lichtenstein 1822) | | | | 7 | | | | | | | | 3 |
| Perciformes | Sciaenidae | <i>Plagioscion squamosissimus</i> (Heckel 1840) | | | | 1 | | | | | | | | 1 |
| Pleuronectiformes | Paralichthyidae | <i>Citharichthys spilopterus</i> Günther, 1862 | 2 | 1 | | | | | | | | | | |
| Siluriformes | Callichthyidae | <i>Hoplosternum littorale</i> (Hancock, 1828) | | | | | | | | | | | | 1 |
| Siluriformes | Doradidae | <i>Frankiscodoras marmoratus</i> (Lütken, 1874) | | | | | | | | | | | | 1 |
| Siluriformes | Loricariidae | <i>Hypostomus commersoni</i> Valenciennes 1836 | 1 | | | | | | | | | | | 2 |
| Syngnathiformes | Syngnathidae | <i>Syngnathus brachyurus</i> (Bleeker, 1853) | | | | | | | | | | | | |



ÁGUA E TERRA

| ORDEM | FAMÍLIA | ESPÉCIE/AUTOR | XINRD 01 | XINRD 02 | XINRD 03 | BSFRD 01 | BSFRD 04 | BSFRD 05 | BSFRD 06 | BSFRD 08 | BSFRD 13 | BSFRD 16 |
|-------|---------|-------------------------------|----------|----------|----------|----------|----------|----------|----------|----------|----------|----------|
| | | numero de espécies no ponto | 4 | 4 | 5 | 18 | 10 | 9 | 6 | 8 | 5 | 10 |
| | | numero de indivíduos no ponto | 7 | 9 | 7 | 48 | 36 | 47 | 9 | 20 | 15 | 34 |

Analizando-se a distribuição das ordens de peixes, em cada um dos pontos amostrados, verificou-se que os Characiformes, em fevereiro/2015, foram os mais abundantes, na maioria dos pontos. Para o ponto BSFRD 04, verificou-se maior abundância para Perciformes.

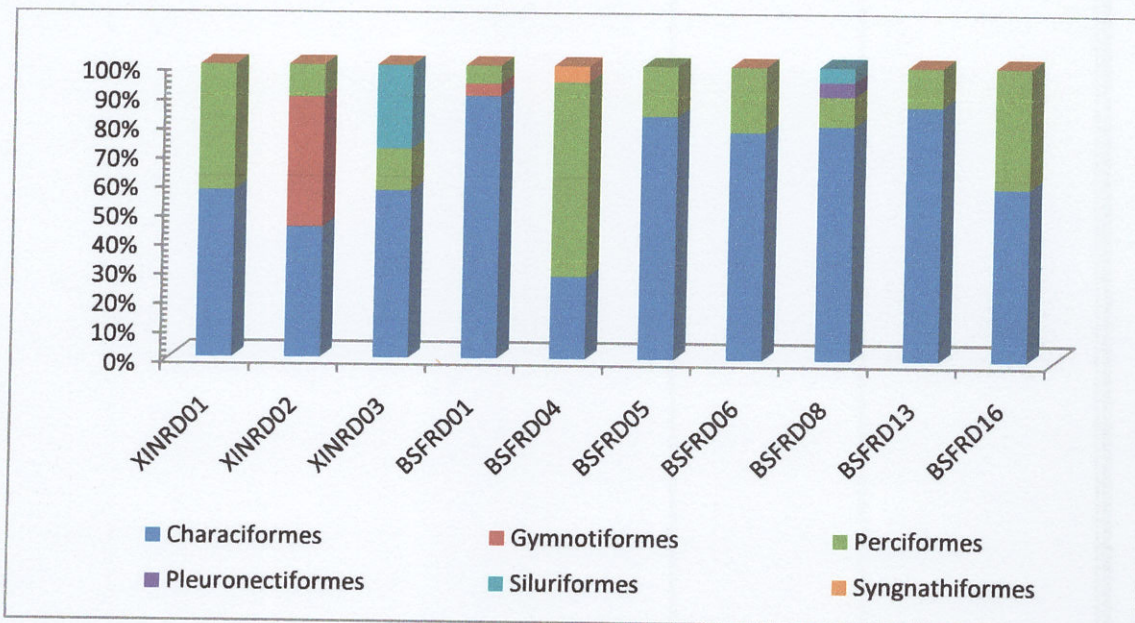


Figura 7: Abundância relativa das ordens de peixes, em cada um dos pontos amostrais – fevereiro/2015

Com relação à abundância das espécies, verificou-se que, em fevereiro/2015, *Serrasalmus brandtii* apresentou-se como a espécie mais abundante ($n = 44$; 18,97%).

Tabela 8: Abundância das espécies de peixes capturadas - UHE Xingó e Baixo São Francisco

| Espécie | Fev./2015 | |
|--------------------------------------|-----------|-------|
| | N | % |
| <i>Acestrorhynchus britskii</i> | 8 | 3,45 |
| <i>Acestrorhynchus lacustris</i> | 14 | 6,03 |
| <i>Astyanax bimaculatus</i> | 29 | 12,50 |
| <i>Astyanax fasciatus</i> | 3 | 1,29 |
| <i>Awaous tajasica</i> | 2 | 0,86 |
| <i>Bryconops affinis</i> | 13 | 5,60 |
| <i>Centropomus undecimalis</i> | 1 | 0,43 |
| <i>Cichla sp.</i> | 5 | 2,16 |
| <i>Cichlasoma facetum</i> | 1 | 0,43 |
| <i>Cichlasoma sanctifrangiscense</i> | 24 | 10,34 |
| <i>Citharichthys spilopterus</i> | 1 | 0,43 |
| <i>Crenicichla lepidota</i> | 14 | 6,03 |
| <i>Curimatella lepidura</i> | 1 | 0,43 |
| <i>Eigenmannia virescens</i> | 5 | 2,16 |
| <i>Franciscodoras marmoratus</i> | 1 | 0,43 |
| <i>Hoplias lacerdae</i> | 3 | 1,29 |

| Espécie | Fev./2015 | |
|-----------------------------------|------------|------------|
| | N | % |
| <i>Hoplias malabaricus</i> | 2 | 0,86 |
| <i>Hoplosternum littorale</i> | 1 | 0,43 |
| <i>Hypostomus commersoni</i> | 1 | 0,43 |
| <i>Leporinus piau</i> | 3 | 1,29 |
| <i>Leporinus taeniatus</i> | 2 | 0,86 |
| <i>Metynnis lippincottianus</i> | 4 | 1,72 |
| <i>Metynnis maculatus</i> | 21 | 9,05 |
| <i>Microphis brachyurus</i> | 2 | 0,86 |
| <i>Moenkhausia costae</i> | 1 | 0,43 |
| <i>Oreochromis niloticus</i> | 10 | 4,31 |
| <i>Plagioscion squamosissimus</i> | 3 | 1,29 |
| <i>Prochilodus costatus</i> | 1 | 0,43 |
| <i>Pygocentrus piraya</i> | 2 | 0,86 |
| <i>Pygocentrus sp.</i> | 7 | 3,02 |
| <i>Schizodon kneri</i> | 1 | 0,43 |
| <i>Serrasalmus brandtii</i> | 44 | 18,97 |
| <i>Sternopygus macrurus</i> | 1 | 0,43 |
| <i>Triportheus guentheri</i> | 1 | 0,43 |
| TOTAL | 232 | 100 |

Com relação à abundância de indivíduos, em cada um dos pontos amostrais, verificou-se que, em fevereiro/2015, a maior abundância foi registrada no ponto BSFRD 01 ($n = 48$), enquanto que os pontos XINRD 01 e XINRD 03 apresentaram a menor quantidade de peixes ($n = 07$).

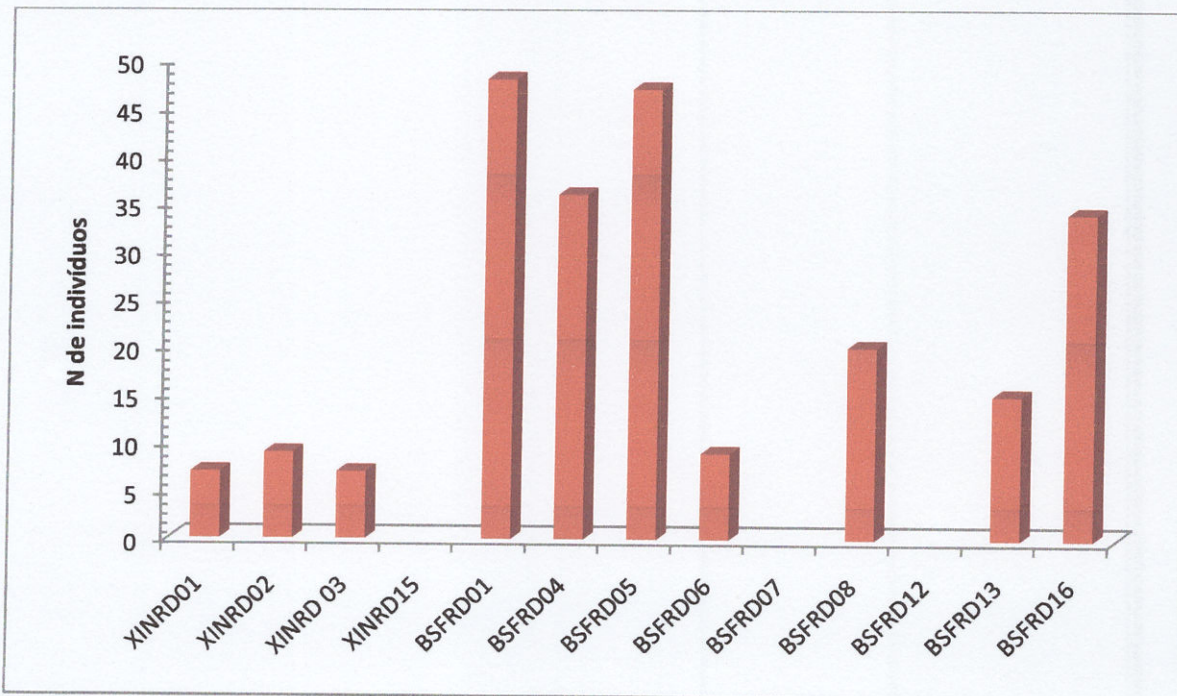


Figura 8: Abundância dos pontos de amostragem

Na amostragem realizada em fevereiro/2015, a espécie *Serrasalmus brandtii* foi a mais frequente, sendo registrada em oito pontos amostrais, enquanto que as espécies *Acestrorhynchus lacustres*, *Leporinus taeniatus*, *Schizodon knerii*, *Moenkhausia costae*, *Triportheus guentheri*, *Curimatella lepidura*, *Prochilodus costatus*, *Sternopygus macrurus*, *Centropomus undecimalis*, *Cichlasoma facetum*, *Citharichthys spilopterus*, *Hoplosternum littorale*, *Franciscodoras marmoratus*, *Hypostomus commersoni* e *Microphism brachyurus* foram encontradas em apenas um dos pontos de amostragem.

Nessa amostragem, a espécie mais abundante em um único ponto amostral foi *Astyanax bimaculatus*, com 26 indivíduos no ponto BSFRD 05.

Considerando-se a riqueza de espécies de cada um dos pontos de amostragem, verificou-se que, em fevereiro/2015, a maior riqueza de espécies foi registrada para o ponto BSFRD 01, com 18 espécies, enquanto que o menor resultado foi evidenciado nos pontos XINRD 01 e XINRD 02, com apenas quatro espécies.

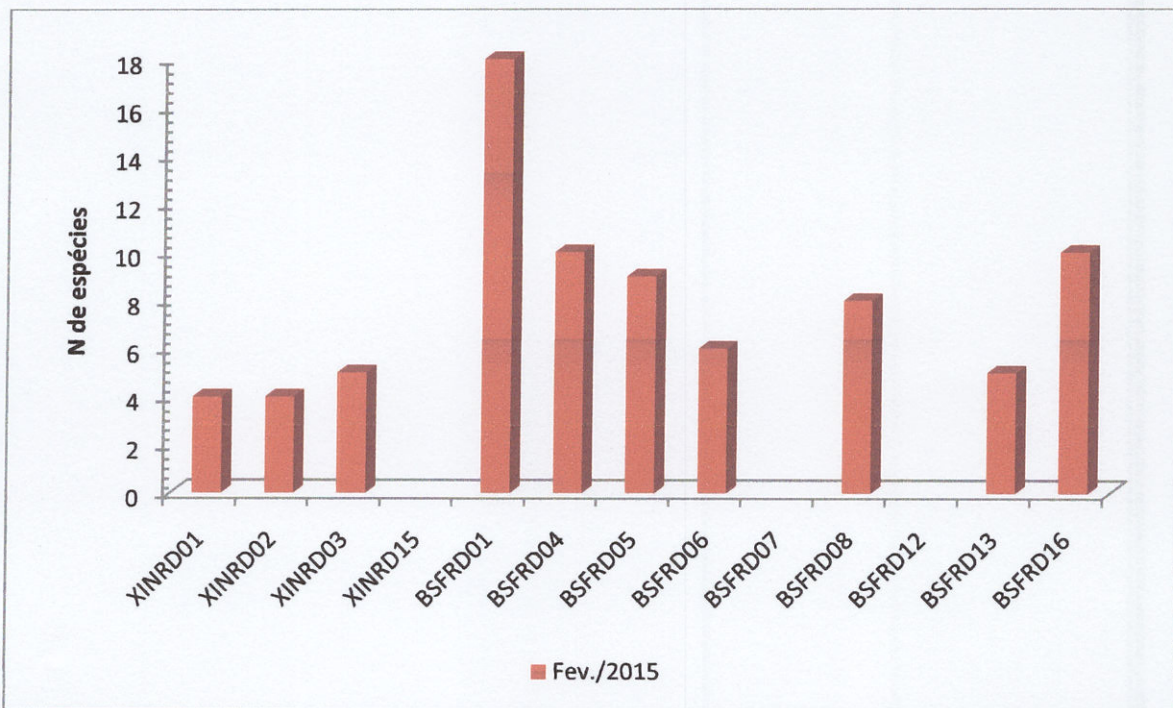


Figura 9: Riqueza de espécies, em cada um dos pontos amostrais

Analizando-se a composição ictiofaunística de cada um dos pontos, bem como utilizando-se o índice de Jaccard, para avaliação da similaridade dos pares de pontos, verificou-se que, em fevereiro/2015, os pontos BSFRD 05 e BSFRD 16, apresentaram maior similaridade.

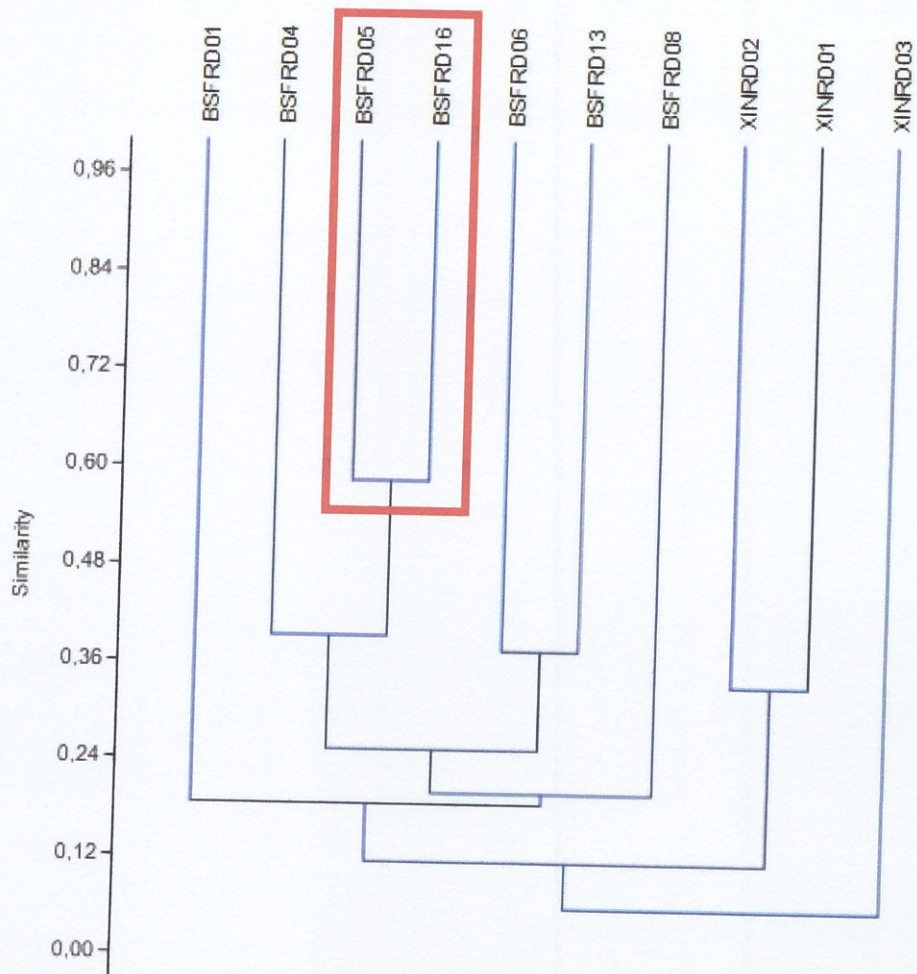


Figura 10: Similaridade da composição ictiofaunística dos pontos amostrais (fevereiro/2015)

